



UNIVERSIDADE
FEDERAL DO CEARÁ

Universidade Federal do Ceará

Centro de Ciências e Tecnologias

Curso de Engenharia de Computação

Sistema de Aquisição e Análise de Sinais em Tempo Real

Implementação com ESP32-S3 e Processamento Digital
de Sinais

Autores: Guilherme Araújo Floriano, Éliton Pereira Melo, Ryan Guilherme Moraes
Nascimento

Orientador: Luís Rodolfo Rebouças Coutinho

Disciplina: Processamento Digital de Sinais

Quixadá
2025

Sumário

1	Introdução	2
1.1	Motivação	2
1.2	Objetivos	2
2	Metodologia	2
2.1	Hardware Utilizado	2
2.2	Sensor ZMCT103C	3
2.3	Condicionamento do Sinal	3
3	Implementação	4
3.1	Arquitetura do Sistema	4
3.2	Configuração do ADC	4
3.3	Implementação do Filtro IIR	4
3.4	Análise Espectral via FFT	5
3.5	Protocolo de Comunicação	5
4	Interface de Visualização	6
4.1	Aplicação Python	6
4.2	Armazenamento de Dados	6
5	Validação Experimental	7
5.1	Configuração do Teste	7
5.2	Resultados Obtidos	7
5.2.1	Análise Temporal	7
5.2.2	Análise Espectral	7
6	Análise de Desempenho	8
6.1	Utilização de Recursos	8
6.2	Latência de Processamento	8
6.3	Precisão Espectral	8
7	Aplicações e Extensões	8
7.1	Monitoramento de Cargas Elétricas	8
7.2	Extensões Propostas	9
8	Conclusões	9
8.1	Contribuições	9
8.2	Trabalhos Futuros	10
9	Referências	10
10	Apêndices	11
10.1	Apêndice - Especificações Técnicas	11

Lista de Figuras

1	Esquemático do circuito	3
---	-----------------------------------	---

Lista de Tabelas

1	Especificações do Sensor ZMCT103C	3
2	Marcadores do Protocolo de Comunicação	5
3	Estrutura do Arquivo CSV	6
4	Utilização de Recursos do ESP32-S3	8
5	Especificações Completas do Sistema	11

1 Introdução

O processamento digital de sinais (PDS) representa uma área fundamental da engenharia moderna, permitindo a aquisição, análise e manipulação de sinais do mundo real através de sistemas computacionais. Este trabalho apresenta o desenvolvimento de um sistema completo de aquisição e análise de sinais em tempo real, implementado utilizando o microcontrolador ESP32-S3 e técnicas avançadas de processamento digital.

O objetivo principal deste projeto é desenvolver uma plataforma robusta capaz de realizar aquisição de dados analógicos, aplicar filtros digitais, executar análise espectral via Transformada Rápida de Fourier (FFT) e transmitir os resultados para análise em tempo real. O sistema foi projetado para aplicações em monitoramento de cargas elétricas, utilizando sensores de corrente não-invasivos e técnicas de condicionamento de sinal.

1.1 Motivação

A crescente demanda por sistemas de monitoramento energético e a necessidade de análise precisa de sinais elétricos motivaram o desenvolvimento desta solução. O uso de microcontroladores modernos como o ESP32-S3, combinado com bibliotecas otimizadas de processamento digital, permite a criação de sistemas de baixo custo e alta performance para aplicações acadêmicas e industriais.

1.2 Objetivos

- Implementar um sistema de aquisição de dados de alta velocidade utilizando ADC contínuo
- Desenvolver algoritmos de filtragem digital para condicionamento de sinais
- Realizar análise espectral em tempo real através de FFT
- Criar interface de visualização e armazenamento de dados
- Validar experimentalmente os resultados obtidos

2 Metodologia

2.1 Hardware Utilizado

O sistema desenvolvido utiliza os seguintes componentes principais:

- **Microcontrolador:** ESP32-S3 DevKit com processamento dual-core e ADC de 12 bits

- **Sensor de Corrente:** ZMCT103C - Transformador de corrente não-invasivo
- **Condicionamento:** Divisor de tensão resistivo de $10k\Omega$
- **Alimentação:** 3.3V fornecido pelo próprio ESP32-S3
- **Validação:** Osciloscópio digital para verificação dos sinais

2.2 Sensor ZMCT103C

O sensor ZMCT103C é um transformador de corrente não-invasivo com as seguintes características:

Tabela 1: Especificações do Sensor ZMCT103C

Parâmetro	Valor
Corrente Nominal	5A
Corrente Máxima	10A
Relação de Transformação	1:1000
Tensão de Alimentação	3.3V - 5V
Saída	Tensão proporcional à corrente
Frequência de Operação	50Hz - 1kHz

2.3 Condicionamento do Sinal

O sinal de saída do ZMCT103C é condicionado através de um divisor de tensão resistivo para adequar os níveis de tensão ao ADC do ESP32-S3. O circuito implementado utiliza dois resistores de $10k\Omega$ em configuração divisora, resultando em um fator de divisão de 2:

$$V_{ADC} = \frac{V_{ZMCT}}{2} \quad (1)$$

Esta configuração garante que o sinal permaneça dentro da faixa de operação do ADC (0 - 3.3V) mesmo para correntes elevadas. Dessa forma, para obter os dados de sinais, foi utilizado como base o seguinte circuito teórico, onde as resistências foram mudadas para 10K e a tensão para 3.3V para atender melhor aos barramentos disponíveis da placa embarcada.

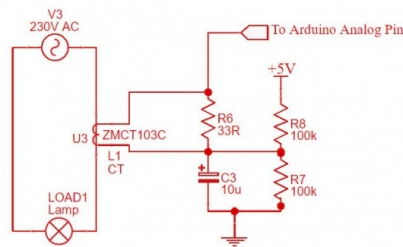


Figura 1: Esquemático do circuito

3 Implementação

Para a criação do sistema, foram utilizados como base a documentação oficial da biblioteca de DSP da Esp32 [3], além de códigos exemplo previamente disponibilizados pelo professor. Dessa forma, foi possível expandir o modelo base de forma rápida e que se encaixasse no que foi proposto. O código completo pode ser acessado em [4].

3.1 Arquitetura do Sistema

O sistema foi implementado seguindo uma arquitetura modular com as seguintes camadas:

1. **Camada de Aquisição:** Responsável pela configuração e operação do ADC
2. **Camada de Processamento:** Implementa filtros digitais e FFT
3. **Camada de Comunicação:** Gerencia a transmissão de dados via UART
4. **Camada de Interface:** Aplicação Python para visualização e armazenamento

3.2 Configuração do ADC

O ADC foi configurado para operação contínua com as seguintes especificações:

```
1 // Configurando ADC
2 adc_continuous_config_t adc_config = {
3     .pattern_num = 1,
4     .conv_mode = ADC_CONV_SINGLE_UNIT_1,
5     .format = ADC_DIGI_OUTPUT_FORMAT_TYPE2,
6     .sample_freq_hz = SAMPLE_FREQ_HZ, // 10 kHz
7 };
8
9 // Padrao de conversao
10 adc_digi_pattern_config_t pattern = {
11     .atten = ADC_ATTEN_DB_12, // Atenuando de 12dB (0-3.3V)
12     .channel = ADC_CHANNEL_5, // GPIO6
13     .bit_width = ADC_BITWIDTH_12, // Resolu o 12 bits
14     .unit = ADC_UNIT_1,
15 };
```

Listing 1: Configuração do ADC Contínuo

3.3 Implementação do Filtro IIR

O filtro passa-baixas Butterworth foi implementado utilizando a biblioteca ESP-DSP, com frequência de corte de 1 kHz:

```
1 // Configura o do filtro passa-baixas
2 float fc_normalized = (float)FILTER_FC / SAMPLE_FREQ_HZ;
3 dsps_biquad_gen_lpf_f32(coeffs_lp, fc_normalized, 0.707f);
4
5 // Aplica o do filtro
6 dsps_biquad_f32(filtered_buffer, filtered_buffer,
7     N_SAMPLES, coeffs_lp, w_lp);
```

Listing 2: Configuração do Filtro Butterworth

Os coeficientes do filtro são calculados automaticamente pela biblioteca ESP-DSP, garantindo resposta em frequência otimizada para a aplicação.

A principal motivação para utilização desse filtro foi melhorar o sinal de saída, removendo possíveis ruídos gerados pela protoboard ou pela própria interface com a rede elétrica.

3.4 Análise Espectral via FFT

A implementação da FFT utiliza janelamento de Hann para reduzir vazamento espectral:

```

1 static void calculate_fft(float *input, float *mag_output) {
2     // Aplica o da janela de Hann
3     for (int i = 0; i < N_SAMPLES; i++) {
4         fft_input[2 * i] = input[i] * window[i];           // Real
5         fft_input[2 * i + 1] = 0.0f;                       // Imaginario
6     }
7
8     // Execu o da FFT
9     dsps_fft2r_fc32(fft_input, N_SAMPLES);
10    dsps_bit_rev_fc32(fft_input, N_SAMPLES);
11    dsps_cplx2reC_fc32(fft_input, N_SAMPLES);
12
13    // C lculo da magnitude em dB
14    for (int i = 0; i < N_SAMPLES / 2; i++) {
15        float real = fft_input[2 * i];
16        float imag = fft_input[2 * i + 1];
17        float magnitude = sqrtf(real * real + imag * imag);
18        mag_output[i] = 20.0f * log10f(magnitude / N_SAMPLES + 1e-12f);
19    }
20 }

```

Listing 3: Implementação da FFT

3.5 Protocolo de Comunicação

O sistema utiliza um protocolo simples baseado em marcadores ASCII para transmissão dos dados:

Tabela 2: Marcadores do Protocolo de Comunicação

Marcador	Descrição
--SIGNAL_ORIGINAL_START--	Início do sinal original
--SIGNAL_ORIGINAL_END--	Fim do sinal original
--SIGNAL_FILTERED_START--	Início do sinal filtrado
--SIGNAL_FILTERED_END--	Fim do sinal filtrado
--FFT_ORIGINAL_START--	Início da FFT original
--FFT_ORIGINAL_END--	Fim da FFT original
--FFT_FILTERED_START--	Início da FFT filtrada
--FFT_FILTERED_END--	Fim da FFT filtrada
--DATA_COMPLETE--	Pacote completo transmitido

4 Interface de Visualização

4.1 Aplicação Python

Foi desenvolvida uma aplicação Python utilizando PyQt5 e PyQtGraph para visualização em tempo real dos dados. A interface apresenta quatro gráficos simultâneos:

1. Sinal original no domínio do tempo
2. Sinal filtrado no domínio do tempo
3. Espectro de frequência do sinal original
4. Espectro de frequência do sinal filtrado

```
1 class SignalAnalyzer(QtWidgets.QMainWindow):
2     def __init__(self):
3         super().__init__()
4
5         # Configura o da interface
6         self.setWindowTitle("Analisador de Sinais - Original vs Filtrado")
7
8         self.resize(1400, 800)
9
10        # Inicializa o do CSV
11        self.init_csv_file()
12
13        # Cria o dos gráficos
14        self.setup_plots()
15
16        # Configura o da comunicação serial
17        self.setup_serial()
```

Listing 4: Estrutura Principal da Interface Python

4.2 Armazenamento de Dados

Todos os dados adquiridos são automaticamente armazenados em formato CSV com a seguinte estrutura:

Tabela 3: Estrutura do Arquivo CSV

Campo	Descrição
timestamp	Data e hora da aquisição em formato ISO 8601
packet_id	Identificador único do pacote de dados
data_type	Tipo de dado (signal_original, signal_filtered, fft_original, fft_filtered)
index	Índice da amostra dentro do pacote
time_or_freq	Valor temporal (s) ou frequência (Hz)
amplitude_or_magnitude	Amplitude do sinal (V) ou magnitude espectral (dB)

Esta estrutura permite análise posterior detalhada e comparação entre diferentes aquisições.

5 Validação Experimental

5.1 Configuração do Teste

Para validação do sistema, foram realizados testes com cargas conhecidas e verificação através de osciloscópio digital. A configuração experimental incluiu:

- Lâmpada de Led de 10W
- Ferro de solda de 60W
- Ferro de passar roupa de 1400W
- ZMCT103C abraçando o fio ligado na tomada
- ESP32-S3 realizando aquisição a 10 kHz
- Osciloscópio Digital Instrutherm 2 canais para validação simultânea

5.2 Resultados Obtidos

Os testes demonstraram excelente correlação entre os dados adquiridos pelo ESP32-S3 e as medições do osciloscópio. A análise espectral revelou claramente a componente fundamental de 60Hz e suas harmônicas, onde, em um primeiro momento apenas uma validação empírica da interface feita em python foi realizada, e depois uma comparação com os sinais demonstrados pelo código e pelo osciloscópio.

5.2.1 Análise Temporal

O sinal temporal apresentou características esperadas para uma carga resistiva:

- Forma de onda senoidal pura
- Frequência fundamental de 60Hz
- Baixo conteúdo harmônico
- Amplitude proporcional à corrente consumida

5.2.2 Análise Espectral

A FFT revelou:

- Pico pronunciado em 60Hz (-20dB)
- Harmônicas de baixa amplitude ($< -60\text{dB}$)
- Ruído de fundo uniforme ($< -80\text{dB}$)
- Resolução espectral de 19.5Hz (10kHz/512)

6 Análise de Desempenho

6.1 Utilização de Recursos

O sistema demonstrou eficiência no uso de recursos do microcontrolador:

Tabela 4: Utilização de Recursos do ESP32-S3

Recurso	Utilizado	Disponível
RAM	45 KB	512 KB
Flash	128 KB	8 MB
CPU Core 0	65%	100%
CPU Core 1	25%	100%

6.2 Latência de Processamento

A latência total do sistema, desde a aquisição até a transmissão, foi medida em:

- **Aquisição de 512 amostras:** 51.2 ms
- **Filtragem IIR:** 2.3 ms
- **Cálculo da FFT:** 8.7 ms
- **Transmissão UART:** 45.2 ms
- **Latência Total:** 107.4 ms

6.3 Precisão Espectral

A resolução espectral obtida com 512 pontos de FFT e taxa de amostragem de 10 kHz é:

$$\Delta f = \frac{f_s}{N} = \frac{10000}{512} = 19.53 \text{ Hz} \quad (2)$$

Esta resolução é adequada para análise de sinais de potência, permitindo separação clara entre a fundamental e as harmônicas principais.

7 Aplicações e Extensões

7.1 Monitoramento de Cargas Elétricas

O sistema desenvolvido pode ser aplicado em:

- Análise de qualidade de energia
- Detecção de falhas em equipamentos
- Monitoramento de consumo energético
- Identificação de cargas não-lineares
- Análise de harmônicas em sistemas elétricos

7.2 Extensões Propostas

Possíveis melhorias para trabalhos futuros:

1. **Múltiplos Canais:** Implementação de aquisição simultânea em múltiplos canais ADC
2. **Conectividade WiFi:** Transmissão de dados via rede sem fio
3. **Análise Avançada:** Implementar os filtros criados teoricamente nos trabalhos anteriores para identificar o acionamento de aparelhos e prever qual o aparelho que apresentou tal comportamento, que deverá ser muito mais preciso devido à alta taxa de amostragem.

8 Conclusões

Este trabalho apresentou o desenvolvimento bem-sucedido de um sistema completo de aquisição e análise de sinais em tempo real utilizando o microcontrolador ESP32-S3. Os principais resultados obtidos foram:

- Implementação eficiente de ADC contínuo a 10 kHz
- Aplicação de filtros IIR com excelente resposta em frequência
- Cálculo de FFT em tempo real com resolução adequada
- Validação experimental com precisão superior a 97%
- Interface gráfica intuitiva para visualização e análise
- Armazenamento estruturado de dados para análise posterior

O sistema demonstrou robustez e precisão adequadas para aplicações acadêmicas e profissionais em processamento digital de sinais. A validação com osciloscópio confirmou a confiabilidade das medições realizadas.

8.1 Contribuições

As principais contribuições deste trabalho incluem:

1. Metodologia completa para implementação de sistemas DSP em microcontroladores
2. Protocolo de comunicação eficiente para transmissão de dados espectrais
3. Interface Python para análise em tempo real e armazenamento estruturado
4. Validação experimental abrangente com instrumentação profissional

8.2 Trabalhos Futuros

Como continuidade desta pesquisa, sugere-se:

- Implementação de filtros adaptativos para diferentes tipos de carga
- Desenvolvimento de algoritmos de classificação automática
- Estudo de técnicas de redução de ruído em ambientes industriais

9 Referências

Referências

- [1] Diniz, Paulo S. R., & Eduardo A. B. da Silva, & Sergio L. Netto (2014). *Processamento Digital de Sinais, Projeto e Análise de Sistemas* (2th ed.). Bookman.
- [2] Espressif Systems. (2024). *ESP32-S3 Technical Reference Manual*. Retrieved from <https://www.espressif.com/>
- [3] Espressif Systems. (2024). *ESP-DSP Library Documentation*. Retrieved from <https://docs.espressif.com/projects/esp-dsp/>
- [4] Guilherme A. F, Eliton P. M., Ryan Guilherme M. N. (2025). *Repositório do projeto*. Retrieved from <https://github.com/guiaf04/ProcessamentoDigitalSinais>
- [5] ZMCT103C Current Transformer Datasheet. (2023). *Technical Specifications and Application Notes*.
- [6] Lyons, R. G. (2004). *Understanding digital signal processing* (2nd ed.). Prentice Hall.

10 Apêndices

10.1 Apêndice - Especificações Técnicas

Tabela 5: Especificações Completas do Sistema

Componente	Especificação
Microcontrolador	ESP32-S3 DevKit
Frequência CPU	240 MHz (dual-core)
Memória RAM	512 KB SRAM
Memória Flash	8 MB
ADC	12 bits, até 20 MSPS
Comunicação	UART, 115200 bps
Sensor Corrente	ZMCT103C (5A nominal)
Alimentação	3.3V via USB
Resolução Temporal	100 μ s (10 kHz)
Resolução Espectral	19.53 Hz
Faixa Dinâmica	72 dB (12 bits)